

© 2020 г. Н.А. КУЗНЕЦОВ, акад. РАН (kuznetsov@cplire.ru)
(Институт радиотехники и электроники им. В.А. Котельникова РАН, Москва;
Московский физико-технический институт),
К.В. СЕМЕНИХИН, д-р физ.-мат. наук (siemenkv@rambler.ru)
(Московский авиационный институт;
Институт радиотехники и электроники им. В.А. Котельникова РАН, Москва)

АНАЛИЗ И ОПТИМИЗАЦИЯ УПРАВЛЯЕМОЙ МОДЕЛИ ЗАМКНУТОЙ СЕТИ МАССОВОГО ОБСЛУЖИВАНИЯ

Рассматривается замкнутая сеть, состоящая из двух систем массового обслуживания: основная система моделирует очередь на передачу пакетов по ненадежному каналу связи, а вспомогательная многоканальная система содержит потерянные пакеты для повторной отправки. Интенсивность обслуживания в основной системе является управляемой и подлежит оптимизации с целью минимизации времени успешной передачи с учетом цены использования ресурсов сети. Получены условия оптимальности искомого управления в двух вариантах: 1) в модели, основанной на жидкостной аппроксимации при наличии сильной загрузки; 2) в установившемся режиме при использовании стационарных стратегий.

Ключевые слова: замкнутая сеть массового обслуживания, жидкостная аппроксимация, марковский процесс, оптимальное управление.

DOI: 10.31857/S0005231020030058

1. Введение

Данная статья лежит в русле исследований [1–8], посвященных оптимизации управляемых инфокоммуникационных систем и сетей, и во многом основана на статье [9], опубликованной Р.Ш. Липцером с соавторами в связи с задачей о жидкостной и диффузионной аппроксимации замкнутой марковской сети массового обслуживания в загруженном состоянии.

Первые исследования замкнутых сетей массового обслуживания были проведены в [10]. Математические основания теории сетей с очередями изложены в [11]. Базовые результаты в области управления системами массового обслуживания (СМО) представлены в [12, 13]. Диффузионным и жидкостным аппроксимациям СМО и сетей посвящены [14, 15].

Методы оптимизации марковских процессов, описывающих работу СМО в стационарном режиме, изложены в [16]. Методология условной оптимизации дискретных марковских моделей разработана в [17]. В нестационарной постановке задача управления марковским процессом при наличии ограничений изучалась в [18].

В [19] доказана пороговая структура оптимальной децентрализованной стратегии при управлении интенсивностью обслуживания на каждом узле

замкнутой сети по критерию минимума стоимости удержания заявки и ресурсов системы. В [20] тот же результат распространен на более общий случай аффинной функции потерь.

В данной статье исследуется марковская модель замкнутой сети [9], которая моделирует процесс передачи данных по ненадежному каналу связи. Рассматриваемая сеть состоит из двух СМО: основная система моделирует очередь на передачу пакетов, а вспомогательная многоканальная система принимает потерянные пакеты для повторной отправки. Так же, как в [6], скорость передачи является управляемой, но теперь в модели предусмотрен механизм повторной отправки потерянных пакетов. Модели СМО с повторными вызовами востребованы при моделировании работы контакт-центров, в которых допускаются повторения обращений клиентов из-за занятости операторов или из-за завершения времени ожидания [21]. В рассматриваемой модели для оптимизации работы системы выделены два показателя качества: время успешной отправки пакета и объем использованных ресурсов. Для выработки приближенной стратегии управления применена жидкостная аппроксимация, позволяющая изучать управляемую систему в среднем при наличии сильной загрузки.

2. Описание модели и постановка задачи

Рассмотрим сеть массового обслуживания, состоящую из двух систем: основной и вспомогательной. Основная система содержит очередь и описывает последовательную передачу однотипных пакетов по ненадежному каналу связи при наличии постоянного входного трафика. Вспомогательная система является многоканальной и используется для моделирования повторной отправки пакетов в случае их потери.

Будем считать, что в данной сети циркулирует постоянное число пакетов N , которое отражает стабильный уровень загрузки сети передачи данных.

Пусть $\ell(t)$ — вероятность потери пакета, причем $0 \leq \ell(t) < 1$, $\mu(t, x)$ — скорость передачи, выбираемая из диапазона

$$(1) \quad m_{\min} \leq \mu(t, x) \leq m_{\max}, \quad \text{где} \quad 0 < m_{\min} < m_{\max} < \infty,$$

а $\alpha(t)(N - x)$ — скорость отправки пакета из вспомогательной системы в основную для повторной попытки передачи, где x обозначает число пакетов в основной системе в момент времени t . Тем самым $\mu(t, x)$ и $\alpha(t)$ — суть интенсивности обслуживания на серверах основной и вспомогательной системы соответственно. Функция $\alpha(t) > 0$ определяет ресурсы, которые способна выделить сеть для обработки запросов на повторную отставку пакетов на фоне меняющейся во времени загрузки вычислительных мощностей. Переменный характер этой загрузки и нестационарность потока потерь могут быть использованы для описания процесса передачи данных с борта беспилотного летательного аппарата, который в автономном режиме должен обеспечивать устойчивое управление своим движением и пересылку полезной информации в условиях изменяющейся окружающей обстановки.

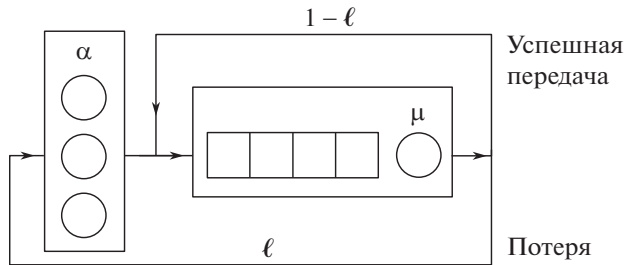


Рис. 1. Модель сети из двух систем: слева — вспомогательная, справа — основная.

На рис. 1 изображена схема рассматриваемой сети передачи данных. Петля соответствует успешной передаче, которая происходит с вероятностью $1 - \ell(t)$. Если пакет успешно отправлен, то он покидает основную систему и в этот же момент к ней присоединяется новый пакет, подлежащий дальнейшей отправке. Тем самым в случае успешной передачи число заявок в основной системе не меняется.

Потери при передаче происходят с интенсивностью $\ell(t)\mu(t, x)$, если $x > 0$. В этом случае число заявок в основной системе уменьшается, а во вспомогательной системе увеличивается на единицу. При этом внешний пакет блокируется, так как для входа в систему он должен дождаться первой успешной отправки.

При нулевом состоянии основной системы $x = 0$ входящий трафик также блокируется. Но происходит это с целью, чтобы у нового пакета была возможность попасть во вспомогательную систему в случае неудачной передачи без изменения общего числа пакетов, циркулирующих в сети.

Возвращение пакета из вспомогательной системы в основную происходит с интенсивностью $\alpha(t)$ и независимым от состояния сети образом. В этом случае число пакетов в основной системе становится на один больше, а во вспомогательной системе — на один меньше.

Важно отметить, что упоминание входящего трафика используется здесь только для интерпретации замкнутой сети как модели передачи пакетных данных: непосредственного влияния входной поток на состояние систем не оказывает. Поэтому число пакетов N необходимо трактовать не как размер пространства, доступного для размещения пакетов, а как фиксированный уровень загрузки.

На отрезке времени $[0, T]$ работу сети передачи данных будем описывать с помощью неоднородного марковского процесса рождения и гибели $X(t)$ со значениями в множестве $E = \{0, 1, \dots, N\}$. Тогда число пакетов в основной и вспомогательной системах равно $X(t)$ и $N - X(t)$ соответственно. Процесс $X(t)$ имеет генератор $\Lambda(t) = \{\lambda_{x,y}(t)\}_{x,y \in E}$, однозначно определяемый интенсивностями двух переходов $x \rightarrow x \pm 1$: $\lambda_{x,x+1}(t) = \alpha(t)(N - x)$ — интенсивность поступления пакета из вспомогательной системы на повторную отправку, когда в основной системе $x < N$ заявок; $\lambda_{x,x-1}(t) = \ell(t)\mu(t, x)$ — интенсивность пересылки пакета во вспомогательную систему при неудачной попытке его передачи, когда основная система содержит $x > 0$ заявок.

Функции $\ell(t)$ и $\alpha(t)$ считаются далее непрерывными.

Качество работы рассматриваемой сети будем описывать с помощью двух характеристик

$$\mathfrak{S}_T = \frac{1}{T} \int_0^T MS(t) dt \quad \text{и} \quad \mathfrak{R}_T = \frac{1}{T} \int_0^T MR(t) dt,$$

где $S(t)$ — время полной передачи пакета, поступающего в момент t , а $R(t)$ — мгновенная мощность использования сетью своих ресурсов, связанных с передачей информации и обработкой запросов на повторную отправку.

Таким образом, \mathfrak{S}_T определяет среднее время успешной передачи, а \mathfrak{R}_T представляет собой среднюю мощность потребления ресурсов. Оба показателя будут рассматриваться как функционалы $\mathfrak{S}_T[\mu]$, $\mathfrak{R}_T[\mu]$, зависящие от управляемой скорости передачи μ из определенного класса \mathcal{M} .

Далее будет рассматриваться задача оптимального управления скоростью передачи μ относительно расширенного функционала

$$(2) \quad \mathfrak{L}_T[\mu, \lambda] = \mathfrak{S}_T[\mu] + \lambda \mathfrak{R}_T[\mu] \rightarrow \min_{\mu}: \mu \in \mathcal{M}$$

при заданном значении множителя $\lambda \geq 0$.

Цель статьи — анализ указанной оптимизационной модели на двух уровнях описания объекта управления: изучение динамики “в среднем” с помощью жидкостной аппроксимации; рассмотрение сети в стационарном режиме для соответствующего однородного марковского процесса.

3. Функционалы качества

Пусть c — неотрицательный параметр, определяющий относительную цену загрузки одного сервера вспомогательной системы из расчета на стоимость загрузки основной системы. Тогда функционал $\mathfrak{R}_T[\mu]$ принимает вид

$$(3) \quad \mathfrak{R}_T[\mu] = \frac{1}{T} \int_0^T M\{\mu(t, X(t)) I\{X(t) > 0\} + c\alpha(t)(N - X(t))\} dt.$$

Для задания функционала $\mathfrak{S}_T[\mu]$ рассмотрим величину $S(t)$, равную полному времени передачи внешнего пакета начиная с момента t . Эта величина имеет представление

$$(4) \quad S(t) = W + B_1 + A_2 + B_2 + \dots + A_\nu + B_\nu,$$

где W — время ожидания входа в систему; A_k и B_k — времена пребывания пакета во вспомогательной и основной системе соответственно при k -й попытке ($k = 1, 2, \dots$ и $A_1 = 0$); ν — номер попытки, при которой пакет будет успешно передан.

Будем рассматривать $S(t)$ как виртуальное время пребывания (включая ожидание входа в систему), поэтому все вероятностные характеристики будут вычисляться из расчета на фиксированный момент t .

Величину W можно представить как

$$W = W_0 I\{X(t) = 0\} + (\tau_1 + \dots + \tau_{\varkappa}) I\{X(t) > 0\},$$

где W_0 — время ожидания разблокировки при полной загрузке вспомогательной системы; τ_1, τ_2, \dots — времена обслуживания заявок, находящихся в основной системе на момент t ; \varkappa — номер первого успешно переданного пакета; $I\{\dots\}$ — индикатор случайного события.

При медленном изменении во времени интенсивностей $\alpha(t)$ и $\mu(t, x)$ условные законы распределения $\text{Law}\{W_0 \mid X(t) = 0\}$ и $\text{Law}\{\tau_k \mid X(t) = x\}$ при $x > 0$ можно считать экспоненциальными $E(\alpha(t)N)$ и $E(\mu(t, x))$ соответственно. Кроме того, $X(t), \varkappa, \tau_1, \tau_2, \dots$ взаимно независимы, причем величина \varkappa подчинена геометрическому распределению $G(1 - \ell(t))$. Тогда по формуле полного математического ожидания получаем среднее время ожидания входа в систему

$$\begin{aligned} \bar{W} &= \frac{P\{X(t) = 0\}}{\alpha(t)N} + \sum_{x=1}^N \sum_{k=1}^{\infty} \frac{k}{\mu(t, x)} P\{\tau = k\} P\{X(t) = x\} = \\ &= \frac{P\{X(t) = 0\}}{\alpha(t)N} + \frac{1}{1 - \ell(t)} M\left\{ \frac{I\{X(t) > 0\}}{\mu(t, X(t))} \right\}. \end{aligned}$$

Время пребывания в основной системе в течение одной попытки имеет вид

$$B_k = \tau_1 + \dots + \tau_x \quad \text{при} \quad X(t) = x > 0.$$

При этом $B_k = 0$ в случае $x = 0$, так как рассматриваемый пакет уже находится в основной системе. Действуя аналогично, получаем среднее время пребывания пакета в основной системе

$$\bar{B} = M\left\{ \frac{X(t) I\{X(t) > 0\}}{\mu(t, X(t))} \right\}.$$

Для среднего времени пребывания во вспомогательной системе имеем

$$\bar{A} = \frac{P\{X(t) < N\}}{\alpha(t)}$$

в силу того, что $\text{Law}\{A_k \mid X(t) = x\} = E(\alpha(t))$ при $x < N$ и $A_k = 0$ при $x = N$.

Учтем $\nu \sim G(1 - \ell(t))$ и независимость входящих в (4) случайных величин. Применив формулу полного математического ожидания, получим среднее время, необходимое для успешной передачи внешнего пакета, пришедшего в момент t ,

$$\bar{S}(t) = \bar{W} + \bar{B} + (\bar{A} + \bar{B}) M\{\nu - 1\} = \bar{W} + \frac{\bar{A}\ell(t) + \bar{B}}{1 - \ell(t)}.$$

Теперь функционал $\mathfrak{S}_T[\mu]$ принимает окончательный вид:

$$(5) \quad \mathfrak{S}_T[\mu] = \frac{1}{T} \int_0^T M\left\{ \frac{I\{X(t) = 0\}}{\alpha(t)N} + \frac{I\{X(t) < N\}\ell(t)}{(1 - \ell(t))\alpha(t)} + \frac{(X(t) + 1) I\{X(t) > 0\}}{(1 - \ell(t))\mu(t, X(t))} \right\} dt.$$

4. Жидкостная аппроксимации

Опишем поведение сети в среднем при помощи метода жидкостной аппроксимации. Для этого представим процесс $X(t)$ в виде

$$(6) \quad X(t) = X(0) + A(t) - D(t),$$

где $A(t)$ — число пакетов, поступивших в основную систему из вспомогательной, а $D(t)$ — число пакетов, отправленных в обратном направлении (за время t). В силу независимости этой пары событий скачки процессов $A(t)$, $D(t)$ происходят в разные моменты времени, т.е.

$$(7) \quad \Delta A(t)\Delta D(t) = 0,$$

причем $A(0) = D(0) = 0$.

Считающие процессы $A(t), D(t)$ допускают мартингалное представление [22, гл. 18]

$$dA(t) = \alpha(t)(N - X(t)) dt + dM^A(t) \quad \text{и} \quad dD(t) = \ell(t)\mu(t, X(t)) dt + dM^D(t),$$

где квадратично-интегрируемые мартингалы $M^A(t), M^D(t)$ ортогональны в силу (7) и имеют следующие квадратичные характеристики:

$$\langle M^A \rangle(t) = \int_0^t \alpha(s)(N - X(s)) ds, \quad \langle M^D \rangle(t) = \int_0^t \ell(s)\mu(s, X(s)) ds.$$

В силу (6) процесс $X(t)$ допускает представление

$$(8) \quad dX(t) = \{\alpha(t)(N - X(t)) - \ell(t)\mu(t, X(t))\} dt + dM(t),$$

где $M(t)$ — квадратично-интегрируемый мартингал с квадратичной характеристикой

$$\langle M \rangle(t) = \int_0^t \{\alpha(s)(N - X(s)) + \ell(s)\mu(s, X(s))\} ds.$$

Следуя [9], определим жидкостную аппроксимацию дискретного процесса $X(t)$.

Жидкостная аппроксимация $x(t)$, будучи детерминированным процессом, описывает поведение основной системы в среднем при большом количестве N функционирующих в сети пакетов. Предположим, что $\mu(t, x)$ задана как функция непрерывных аргументов $t \geq 0$ и $x \in [0, N]$. Тогда $x(t)$ удовлетворяет обыкновенному дифференциальному уравнению

$$(9) \quad \dot{x} = \alpha(t)(N - x) - \ell(t)\mu(t, x),$$

которое получается из (8) удалением мартингальной составляющей.

Согласно теореме 1 из [9] для корректности жидкостной аппроксимации (9) достаточно, чтобы функция $\mu(t, x)$ была липшицевой, а функция $x(t)$ удовлетворяла условию

$$(10) \quad \exists \varepsilon > 0: \quad \varepsilon \leq x(t) \leq N - \varepsilon \quad \forall t \in [0, T].$$

Смысл этого условия очевиден: среднее число пакетов должно находиться в интервале $(0, N)$, исключая режимы бездействия основной или вспомогательной системы.

Лемма. Если найдется $\varepsilon > 0$, такое что

$$(11) \quad \varepsilon/m_{\min} \leq \ell(t)/\alpha(t) \leq (N - \varepsilon)/m_{\max},$$

то условие (10) выполнено при любом выборе липшицевой функции $\mu(t, x)$, удовлетворяющей ограничениям (1).

Доказательства леммы и последующих утверждений приведены в Приложении.

Учитывая аппроксимацию $X(t) \approx x(t)$, получаем представление функционалов (3) и (5):

$$\begin{aligned} \mathfrak{S}_T[\mu] &= \frac{1}{T} \int_0^T \left\{ \frac{\ell(t)}{(1 - \ell(t))\alpha(t)} + \frac{x(t) + 1}{(1 - \ell(t))\mu(t, x(t))} \right\} dt, \\ \mathfrak{R}_T[\mu] &= \frac{1}{T} \int_0^T \{ \mu(t, x(t)) + c\alpha(t)(N - x(t)) \} dt. \end{aligned}$$

Тогда расширенный функционал (2) примет вид

$$\begin{aligned} \mathfrak{L}_T[\mu, \lambda] &= \frac{1}{T} \int_0^T g(t, x(t), \mu(t, x(t)), \lambda) dt, \\ g(t, x, \mu, \lambda) &= \frac{\ell(t)}{(1 - \ell(t))\alpha(t)} + \frac{x + 1}{(1 - \ell(t))\mu} + \lambda[\mu + c\alpha(t)(N - x)]. \end{aligned}$$

Для синтеза оптимальной скорости передачи данных $\hat{\mu}(t, x)$ по критерию минимума расширенного функционала $\mathfrak{L}_T[\mu, \lambda]$ рассмотрим сначала задачу

$$(12) \quad \mathfrak{L}_T[u, \lambda] = \frac{1}{T} \int_0^T g(t, x(t), u(t), \lambda) dt \rightarrow \min_{u \in \mathcal{U}}$$

на классе \mathcal{U} программных управлений, т.е. кусочно-непрерывных функций $u(t)$, $t \in [0, T]$, со значениями в множестве $U = [m_{\min}, m_{\max}]$. При этом состояние $x(t)$ удовлетворяет дифференциальному уравнению (9), в котором вместо позиционного управления $\mu(t, x)$ используется программное, а именно:

$$(13) \quad \dot{x} = f(t, x, u(t)), \quad f(t, x, u) = \alpha(t)(N - x) - \ell(t)u.$$

Определим гамильтониан

$$H(t, x, \psi, u, \lambda) = \psi f(t, x, u) - g(t, x, u, \lambda),$$

в котором ψ — сопряженная переменная. Тогда нетрудно получить представление

$$H(t, x, \psi, u, \lambda) = \dots - (au + b/u),$$

где a и b — краткие обозначения для коэффициентов

$$a = \ell(t)\psi + \lambda, \quad b = (x + 1)/(1 - \ell(t)),$$

a — многочлен обозначает слагаемые, не зависящие от переменной u . Если известно, что для состояния системы (13) можно гарантировать условие $x \geq 0$, то коэффициент b будет положительным и максимум гамильтониана по переменной $u \in U$ будет достигаться в единственной точке:

$$(14) \quad Q(a, b) = \begin{cases} m_{\max}, & a/b \leq 1/m_{\max}^2, \\ \sqrt{b/a}, & 1/m_{\max}^2 \leq a/b \leq 1/m_{\min}^2, \\ m_{\min}, & a/b \geq 1/m_{\min}^2. \end{cases}$$

Теперь определим уравнение для сопряженной переменной с учетом терминального условия

$$(15) \quad \dot{\psi} = -H_x(t, x, \psi, u(t), \lambda), \quad t \in [0, T], \quad \psi(T) = 0,$$

где правая часть дифференциального уравнения определяется как

$$-H_x(t, x, \psi, u, \lambda) = \alpha(t)\psi + \frac{1}{(1 - \ell(t))u} - \lambda c \alpha(t).$$

Пусть $x(t), \psi(t)$ — решение системы дифференциальных уравнений (13), (15), в которых в качестве $u(t)$ взято управление

$$(16) \quad \hat{u}(t) = Q(\ell(t)\psi(t) + \lambda, (x(t) + 1)/(1 - \ell(t))),$$

где предполагается, что $x(t) \geq 0$ всюду на $[0, T]$.

Сформулируем полученный результат в теореме 1.

Теорема 1. Если для какого-либо $\varepsilon \geq 0$ выполнено правое неравенство в (11), то при любом начальном условии $x(0) \geq 0$ управление (16) представляет собой решение задачи (12). Если к тому же имеет место неравенство

$$(17) \quad \lambda(c/4 + 1) \leq (1/m_{\max} + 1/(4\alpha(t)))/m_{\max}, \quad t \in [0, T],$$

то оптимальное управление совпадает с верхней границей, т.е. $\hat{u}(t) \equiv m_{\max}$.

Теорема 1 позволяет описать схему нахождения оптимального позиционного управления $\hat{\mu}(t, x)$. Для каждого $x_T \in (0, N)$ необходимо проинтегрировать в обратном времени систему (13), (15) с учетом $u(t) = \hat{u}(t)$ и терминальных условий $x(T) = x_T$, $\psi(T) = 0$ вплоть до момента t_0 , при котором будет выполнено одно из условий: $x(t_0) = 0$, $x(t_0) = N$ или $t_0 = 0$. Теперь искомое управление определяется вдоль каждой полученной траектории по правилу $\hat{\mu}(t, x(t)) = \hat{u}(t)$.

Структуру оптимального управления \hat{u} из (16) можно пояснить следующим образом. Выбор между двумя границами m_{\min} , m_{\max} определяется отношением $r = (1 - \ell)(\ell\psi + \lambda)/(x + 1)$. Если энергозатраты, выражаемые параметром λ , незначительны по сравнению с уровнем загрузки системы x , то r мало и в этом случае более предпочтительно передавать на максимальной скорости, т.е. $\hat{u} = m_{\max}$. Неравенство (17) описывает достаточное условие, при котором можно сделать такой вывод. Если же, наоборот, сохранение ресурсов весьма критично, что выражается большим значением r , то оптимальная скорость передачи устанавливается на минимальном уровне: $\hat{u} = m_{\min}$.

Замечание. Выражение (16) позволяет предложить постоянную стратегию, которую можно использовать для предварительного решения задачи в модели с постоянными параметрами α и ℓ .

Предположим, что значение двойственной переменной $\psi(t)$ незначительно. Это так, по крайней мере, на конце промежутка, поскольку $\psi(T) = 0$. Если считать, что к этому моменту состояние $x(t)$ устанавливается на некотором равновесном значении \bar{x} , то в случае достаточно широкого диапазона $[1/m_{\max}^2, 1/m_{\min}^2]$ в силу (13) и (14) и с учетом $1 \ll \bar{x}$ получаем систему уравнений:

$$\alpha(N - \bar{x}) - \ell\hat{u} = 0, \quad \hat{u} = \sqrt{\bar{x}/(\lambda(1 - \ell))}.$$

Тогда соответствующее решение \bar{x} имеет вид

$$\bar{x} = N - \frac{\varkappa}{2} \left(\sqrt{1 + \frac{4N}{\varkappa}} - 1 \right), \quad \varkappa = \frac{\ell^2}{\lambda(1 - \ell)\alpha^2},$$

причем заведомо $0 < \bar{x} < N$.

5. Стационарный режим

Теперь предположим, что параметры сети ℓ , α являются константами, а искомое управление описывается стационарной стратегией

$$(18) \quad \mu = \{\mu_x : x = 1, \dots, N\} \in U^N, \quad U = [m_{\min}, m_{\max}],$$

где μ_x — скорость отправки из основной системы в случае, когда в ней находится x пакетов. При простое основной системы ее сервер бездействует, поэтому соответствующая скорость отправки равна нулю: $\mu_0 = 0$. Стратегии (18) будем называть *допустимыми*.

В указанных предположениях марковский процесс $X(t)$ будет однородным, а его интенсивности переходов принимают вид $\lambda_{x-1,x} = \alpha(N + 1 - x)$ и

$\lambda_{x,x-1} = \ell\mu_x$ при $x = 1, \dots, N$. Процесс $X(t)$, как конечный процесс рождения и гибели, является эргодическим. Это означает, что вне зависимости от выбора начального распределения $X(0)$ для всякого $x \in E$ определены предельные вероятности $\pi_x = \lim_{t \rightarrow \infty} P\{X(t) = x\}$. Для них известно рекуррентное представление:

$$(19) \quad \pi_x = \frac{\alpha(N+1-x)}{\ell\mu_x} \pi_{x-1}, \quad x = 1, \dots, N.$$

Если π_0 найти из условия нормировки, то тем самым будет определено стационарное распределение $\pi = \{\pi_0, \pi_1, \dots, \pi_N\}$.

Укажем выражения для функционалов качества. Среднее время успешной отправки в силу (5) принимает вид

$$\mathfrak{S}[\mu] = \frac{\pi_0}{\alpha N} + \frac{(1-\pi_N)\ell}{(1-\ell)\alpha} + \sum_{x=1}^N \frac{(x+1)\pi_x}{(1-\ell)\mu_x}.$$

Из (3) получаем выражение для функционала, определяющего среднюю мощность потребления ресурсов:

$$\mathfrak{R}[\mu] = \sum_{x=0}^N \{\mu_x + c\alpha(N-x)\}\pi_x.$$

Тогда с учетом равенства $1 - \pi_N = \pi_0 + \dots + \pi_{N-1}$ расширенный функционал (2) равен

$$(20) \quad \mathfrak{L}[\mu, \lambda] = h_0\pi_0 + \sum_{x=1}^N (h_x + b_x/\mu_x + \lambda\mu_x)\pi_x,$$

$$h_x = \frac{1}{\alpha N} I\{x=0\} + \frac{\ell}{(1-\ell)\alpha} I\{x < N\} + \lambda c\alpha(N-x), \quad b_x = \frac{x+1}{(1-\ell)}.$$

Решим задачу минимизации расширенного функционала в стационарном режиме

$$(21) \quad \mathfrak{L}[\mu, \lambda] \rightarrow \min_{\mu}$$

на классе стратегий (18).

Для этого введем функционал

$$\mathfrak{J}[\pi, \mu, \nu] = \mathfrak{L}[\mu, \lambda] - \nu(\pi_0 + \pi_1 + \dots + \pi_N - 1),$$

включив условие нормировки в виде слагаемого с множителем $\nu \in \mathbb{R}$. Последовательность $\pi = \{\pi_x: x = 0, 1, \dots, N\}$ будем рассматривать как траекторию дискретной системы (19) с произвольным начальным условием $\pi_0 \geq 0$ и управлением $\mu = \{\mu_x\}$.

Функционал \mathfrak{J} является сепарабельным, поэтому для его минимизации применим метод динамического программирования. Для этого запишем \mathfrak{J} с учетом (19) и (20):

$$\mathfrak{J}[\pi, \mu, \nu] = \nu + \pi_0(h_0 - \nu) + \sum_{x=1}^N \pi_{x-1} g_x(\mu_x, \nu),$$

$$g_x(u, \nu) = (h_x + b_x/u + \lambda u - \nu) \gamma_x/u, \quad \gamma_x = \alpha(N + 1 - x)/\ell.$$

Определим функцию Беллмана:

$$(22) \quad \mathfrak{B}_n(p, \nu) = \inf_{(\pi, \mu) \in \mathcal{S}_n(p)} \sum_{x=n}^N \pi_{x-1} g_x(\mu_x, \nu), \quad n = N, N-1, \dots, 1,$$

где $\mathcal{S}_n(p)$ — множество пар (π, μ) , таких что $\pi = \{\pi_x: x = n, \dots, N\}$ удовлетворяет рекуррентному уравнению $\pi_x = \pi_{x-1} \gamma_x / \mu_x$ с начальным условием $\pi_{n-1} = p$ и допустимой стратегией $\mu = \{\mu_x: x = n, \dots, N\}$.

Уравнение динамического программирования принимает вид

$$\mathfrak{B}_n(p, \nu) = \inf_{u \in U} \{p g_n(u, \nu) + \mathfrak{B}_{n+1}(p \gamma_n/u, \nu)\}, \quad n = N, N-1, \dots, 1,$$

где $\mathfrak{B}_{N+1} \equiv 0$. При этом

$$(23) \quad \inf_{(\pi, \mu) \in \mathcal{S}_0} \mathfrak{J}[\pi, \mu, \nu] = \inf_{\pi_0 \geq 0} \{\nu + \pi_0(h_0 - \nu) + \mathfrak{B}_1(\pi_0, \nu)\},$$

где \mathcal{S}_0 содержит $(\pi, \mu) \in \mathcal{S}_1(\pi_0)$ при произвольном выборе начального условия $\pi_0 \geq 0$.

Нетрудно проверить, что функция Беллмана имеет вид $\mathfrak{B}_n(p, \nu) = p \beta_n(\nu)$, где последовательность $\{\beta_n(\nu)\}$ определяется из рекуррентного соотношения

$$\beta_n(\nu) = \inf_{u \in U} \{g_n(u, \nu) + \gamma_n \beta_{n+1}(\nu)/u\}, \quad n = N, N-1, \dots, 1, \quad \beta_{N+1} \equiv 0.$$

После замены переменной $w = 1/u$ последнее уравнение принимает вид

$$\beta_n(\nu) = \inf_{1/m_{\max} \leq w \leq 1/m_{\min}} \{\lambda + (h_n - \nu + \beta_{n+1}(\nu))w + b_n w^2\} \gamma_n.$$

Если определить точку абсолютного минимума указанной квадратичной функции

$$w_n^* = -\frac{h_n - \nu + \beta_{n+1}(\nu)}{2b_n},$$

то можно утверждать, что стратегия

$$(24) \quad \mu_x^* = \begin{cases} m_{\max}, & w_x^* \leq 1/m_{\max}, \\ 1/w_x^*, & 1/m_{\max} \leq w_x^* \leq 1/m_{\min}, \\ m_{\min}, & w_x^* \geq 1/m_{\min}, \end{cases} \quad x = 1, \dots, N,$$

будет доставлять минимум в (22) при фиксированном $\nu \geq 0$.

Таблица 1. Значения расширенного функционала в зависимости от выбора множителя

i	λ_0^i	λ^i	$\mathfrak{L}[\mu^*, \lambda^i]$	$\mathfrak{L}[\hat{u}, \lambda^i]$	$\mathfrak{L}[m_{\min}, \lambda^i]$	$\mathfrak{L}[m_{\text{med}}, \lambda^i]$	$\mathfrak{L}[m_{\max}, \lambda^i]$
1	0,2	0,324	8,616	8,755	36,215	11,204	8,616
2	0,8	1,298	16,686	16,906	37,676	16,805	18,358
3	1,4	2,271	22,079	22,249	39,137	22,407	28,100
4	2,0	3,244	26,393	26,537	40,599	28,009	37,843
5	2,6	4,217	30,094	30,222	42,060	33,611	47,585
6	3,2	5,191	33,388	33,504	43,521	39,213	57,327
7	3,8	6,164	36,385	36,491	44,983	44,815	67,070
8	4,4	7,137	39,152	39,251	46,444	50,416	76,812
9	5,0	8,110	41,736	41,829	47,905	56,018	86,554

Таблица 2. Время успешной отправки и объем ресурсов на стратегиях μ^* и \hat{u}

i	λ_0^i	λ^i	$\mathfrak{G}[\mu^*]$	$\mathfrak{G}[\hat{u}]$	$\mathfrak{R}[\mu^*]$	$\mathfrak{R}[\hat{u}]$
1	0,2	0,324	5,3684	5,6916	10,0099	9,4416
2	0,8	1,298	8,3332	9,7654	6,4365	5,5029
3	1,4	2,271	11,0310	12,4353	4,8649	4,3214
4	2,0	3,244	13,1885	14,5780	4,0701	3,6862
5	2,6	4,217	15,0402	16,4194	3,5695	3,2727
6	3,2	5,191	16,6888	18,0591	3,2171	2,9754
7	3,8	6,164	18,1890	19,5514	2,9519	2,7482
8	4,4	7,137	19,5757	20,9300	2,7429	2,5670
9	5,0	8,110	20,8711	22,2173	2,5726	2,4181

Выберем параметр ν так, чтобы минимизируемое выражение в правой части (23) не зависело от π_0 . В силу $\mathfrak{B}_1(\pi_0, \nu) = \pi_0 \beta_1(\nu)$ это условие равносильно уравнению

$$(25) \quad h_0 - \nu + \beta_1(\nu) = 0.$$

Теперь можно описать способ решения задачи (21).

Теорема 2. Решение ν^* уравнения (25) существует и определено единственным образом, оно положительно и не превосходит значения функционала $\mathfrak{L}[\mu, \lambda]$ на любой допустимой стратегии μ .

Стратегия μ^* , определяемая в (24) при $\nu = \nu^*$, является оптимальным управлением в стационарном режиме по критерию минимума расширенного функционала (21), причем $\mathfrak{L}[\mu^*, \lambda] = \nu^*$.

Как следует из доказательства теоремы 2, функция в правой части уравнения (25) непрерывна и монотонно не возрастает. Поэтому решение ν^* можно искать методом деления отрезка пополам или методом золотого сечения на отрезке $[0, \mathfrak{L}[\mu, \lambda]]$, где μ — любая допустимая стратегия, например $\mu_x = m_{\min}$ или $\mu_x = m_{\max}$.

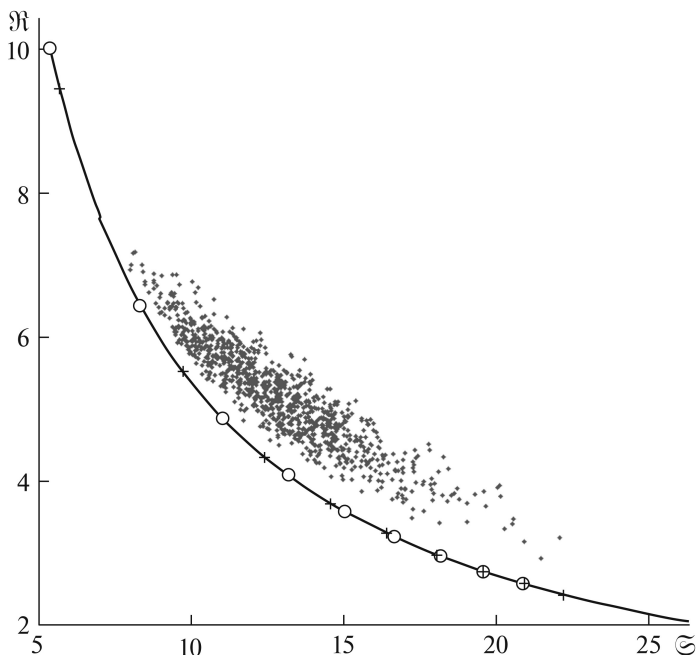


Рис. 2. Граница множества достижимости (сплошная кривая) на плоскости критериев $(\mathfrak{S}, \mathfrak{R})$ при оптимальном управлении μ^* (кружочки), постоянном управлении \hat{u} (крестики) и случайно сгенерированных стратегиях (точки).

Приведем пример численного нахождения оптимального управления замкнутой сетью передачи данных, рассматриваемой в стационарном режиме.

Пример. Сделаем следующие предположения: сеть содержит $N = 50$ пакетов; диапазон допустимых значений скорости передачи задан границами $m_{\min} = 1,5$ и $m_{\max} = 10$; $\alpha = 0,02$ — интенсивность обслуживания во вспомогательной системе; $\ell = 0,05$ — вероятность потери пакета; $c = 0,02$ — относительная цена использования сервера вспомогательной системы.

В табл. 1 приведены значения расширенного функционала в зависимости от выбора множителя λ на нескольких управлениях: μ^* — оптимальное управление, описанное в теореме 2; \hat{u} — постоянное управление, значение которого выбрано согласно замечанию; m_{\min} , m_{med} , m_{\max} — постоянные управления, равные соответственно нижней границе, середине и верхней границе диапазона допустимых значений. Для множителя λ , определяющего вес энергетического критерия, взято несколько значений $\lambda^i = \lambda_0^i \mathfrak{S}[m_{\text{med}}] / \mathfrak{R}[m_{\text{med}}]$, где λ_0^i — безразмерные коэффициенты, $i = 1, \dots, 9$.

Как видно из табл. 1, значения расширенного функционала на оптимальном управлении μ^* и постоянной стратегии \hat{u} , полученной на основе жидкостной аппроксимации, отличаются мало. Тем не менее сравнение функционалов времени успешной отправки \mathfrak{S} и объема ресурсов \mathfrak{R} позволяют увидеть достаточно серьезные отличия в характеристиках качества указанных управлений (см. табл. 2).

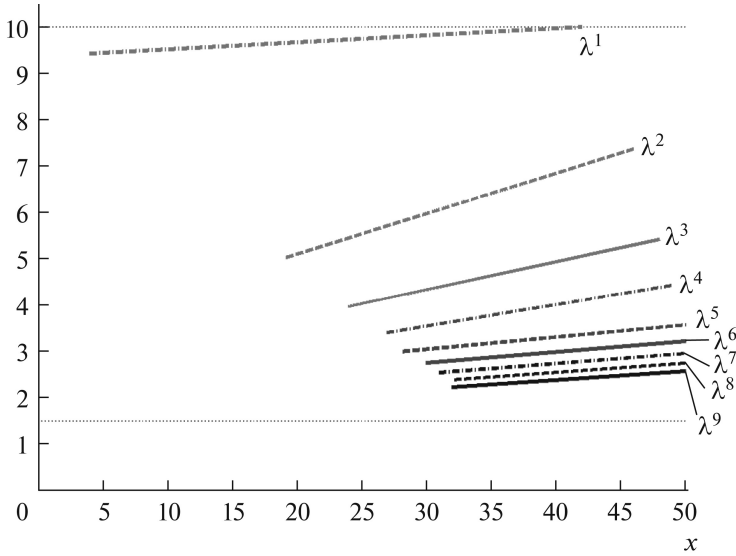


Рис. 3. Оптимальные управления $\{\mu_x^*\}$ как функции состояния $x = 1, 2, \dots, N$ для нескольких значений множителя $\lambda = \lambda^i$.

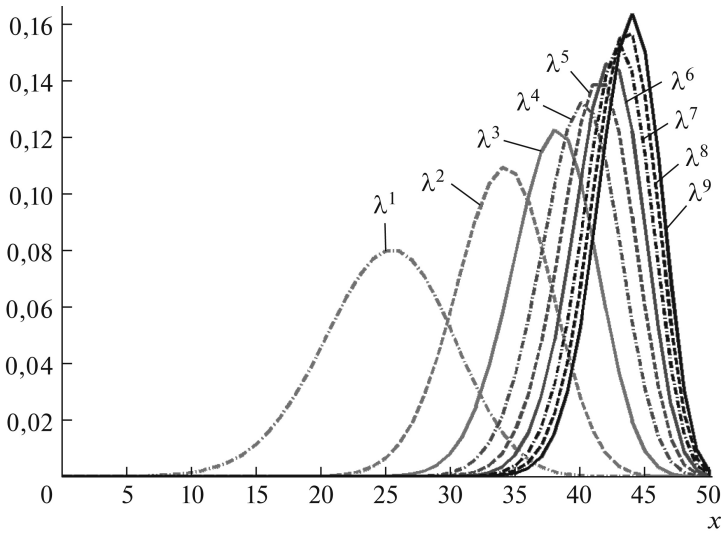


Рис. 4. Вероятности $\{\pi_x^*\}$ состояний $x = 0, 1, \dots, N$ основной системы при использовании нескольких оптимальных управлений μ^* в зависимости от выбора множителя $\lambda = \lambda^i$.

На плоскости критериев $(\mathfrak{S}, \mathfrak{R})$ оптимальное управление μ^* обязано лежать на границе множества достижимости

$$\mathcal{A} = \{(s, r) : \exists \mu \in U^N : s \geq \mathfrak{S}[\mu], r \geq \mathfrak{R}[\mu]\}.$$

Этот факт подтверждается рис. 2, на котором точки $(\mathfrak{S}[\mu^*], \mathfrak{R}[\mu^*])$ изображены кружочками, а граница \mathcal{A} — сплошной кривой.

Для постоянной стратегии \hat{u} в силу $\mathfrak{L}[\hat{u}] \approx \mathfrak{L}[\mu^*]$ точки $(\mathfrak{S}[\hat{u}], \mathfrak{R}[\hat{u}])$, обозначенные крестиками, также визуально лежат на границе. Однако точки $(\mathfrak{S}[\mu^*], \mathfrak{R}[\mu^*])$ и $(\mathfrak{S}[\hat{u}], \mathfrak{R}[\hat{u}])$ не совпадают, так как хотя бы по одному из двух критериев различие существенно (см. табл. 2).

Другие стратегии μ (точнее, соответствующим им значения критериев $\mathfrak{S}[\mu], \mathfrak{R}[\mu]$) изображены на рис. 2 точками. Эти стратегии $\mu = \{\mu_x\}$ в количестве 1000 штук получены в результате моделирования набора $\{\mu_1, \dots, \mu_N\}$ как выборки из равномерного распределения $\mathcal{R}(m_{\min}, m_{\max})$.

На рис. 3 изображены оптимальные управления $\{\mu_x^*\}$ для тех же значений множителя λ , что перечислены в табл. 1 и 2. Соответствующие стационарные распределения $\pi^* = \{\pi_x^*\}$ представлены на рис. 4. Для маловероятных состояний x наблюдался эффект неустойчивости при численном нахождении оптимальных стратегий μ_x^* . Поэтому на рис. 3 для каждого управления μ^* изображена только та часть графика, которая оставалась неизменной при повышении точности решения уравнения (25). Соответствующие значения оптимального управления были найдены с приемлемой точностью для промежутка, в который состояние $X \sim \pi^*$ попадает с вероятностью 0,999.

6. Заключение

В статье изучена задача оптимального управления скоростью передачи данных в модели с ненадежным каналом связи и механизмом повторной отправки по критерию минимума полного времени передачи с учетом энергозатрат передатчика. Сеть передачи данных моделировалась замкнутой сетью массового обслуживания с основным узлом-передатчиком (в виде конечной одноканальной системы) и вспомогательным узлом для повторной отправки пакетов (в виде многоканальной СМО). Условия оптимальности искомого управления получены в приближенной модели, основанной на жидкостной аппроксимации, а также в установившемся режиме при использовании стационарных стратегий.

ПРИЛОЖЕНИЕ

Доказательство леммы. Если $\mu(t, x)$ — липшицева, то при любом начальном условии $x(0)$ уравнение (9) имеет решение $x(t)$, определенное на всем отрезке $[0, T]$. С учетом обозначения $\beta(t) = N - \ell(t)\mu(t, x(t))/\alpha(t)$ получаем $\dot{x} = -\alpha(t)x + \alpha(t)\beta(t)$, откуда следует представление

$$(П.1) \quad x(t) = \varphi(t)x(0) + \int_0^t \frac{\varphi(t)}{\varphi(s)} \alpha(s)\beta(s) ds, \quad \varphi(t) = \exp \left\{ - \int_0^t \alpha(\tau) d\tau \right\}.$$

В силу (11) имеет место неравенство $\varepsilon \leq \beta(t) \leq N - \varepsilon$. Если в (П.1) вместо β взять $\beta_1 = \varepsilon$ и $\beta_2 = N - \varepsilon$, то соответствующие решения $x_k(t) = \varphi(t)x(0) + (1 - \varphi(t))\beta_k$, $k = 1, 2$, будут удовлетворять неравенствам $x_1(t) \leq x(t) \leq x_2(t)$. Поскольку $0 < \varphi(t) < 1$, получаем, что $x(t)$ — выпуклая комбинация чисел $x(0)$, β_1 и β_2 , каждое из которых принадлежит отрезку $[\varepsilon, N - \varepsilon]$. Это влечет $x(t) \in [\varepsilon, N - \varepsilon]$, что и требовалось. Лемма доказана.

Доказательство теоремы 1. Сначала установим факт существования оптимального управления в задаче (12). Для этого достаточно проверить условия теоремы III.4.1 из [23], а именно: липшицевость по (x, u) функции $f(t, x, u)$ в правой части дифференциального уравнения (13); непрерывность подынтегральной функции $g(t, x, u, \lambda)$; компактность множества допустимых значений управления U ; выпуклость множеств

$$F(t, x) = \{(p, z) : \exists u \in U : p = f(t, x, u), z \geq g(t, x, u, \lambda)\}.$$

Последнее условие выполнено, если $f(t, x, u)$ линейна, а $g(t, x, u, \lambda)$ выпукла по u . Выпуклость второй функции по $u > 0$ вытекает из леммы, благодаря которой можно гарантировать, что $x \geq 0$.

Формулировку необходимых условий оптимальности в форме принципа максимума можно найти, например, в пп. 2.4.1 и 2.4.2 в [24]. В силу существования оптимального управления и того, что максимум гамильтониана достигается в единственной точке (14), можно утверждать, что управление (16) является решением задачи (12).

Теперь выведем достаточное условие того, что оптимальное управление $\hat{u}(t)$ совпадает с верхней границей m_{\max} . Так как $\hat{u}(t)$ однозначно определяется выражениями (14) и (16), выясним, в каком случае имеет место $a/b \leq 1/m_{\max}^2$. Опуская зависимость от времени, это неравенство можно переписать в виде

$$\ell(1 - \ell)\psi + \lambda(1 - \ell) \leq (x + 1)/m_{\max}^2.$$

С учетом $0 \leq \ell < 1$ и $x \geq 0$ указанное неравенство заведомо выполнено при

$$(II.2) \quad \psi/4 + \lambda \leq 1/m_{\max}^2.$$

Оценим сверху значение сопряженной переменной $\psi(t)$. Для этого запишем уравнение (15) в виде $\dot{\psi} = \alpha(t)\psi - \alpha(t)\gamma(t)$, где $\gamma(t) = \lambda c - ((1 - \ell(t))\alpha(t)\hat{u}(t))^{-1}$. Воспользуемся неравенством

$$\gamma(t) \leq \gamma_{\max} = \lambda c - \frac{1}{\alpha_{\max} m_{\max}}, \quad \alpha_{\max} = \max_{t \in [0, T]} \alpha(t),$$

и представлением, аналогичным (II.1). Тогда в силу $\psi(T) = 0$ имеем, что

$$\psi(t) = \int_t^T \frac{\varphi(s)}{\varphi(t)} \alpha(s) \gamma(s) ds = \frac{\gamma_{\max}}{\varphi(t)} (\varphi(t) - \varphi(T)) \leq \gamma_{\max}.$$

Теперь при подстановке $\psi = \gamma_{\max}$ в (II.2) получается требуемое неравенство (17). Теорема 1 доказана.

Доказательство теоремы 2. Докажем, что решение (25) существует, является единственным и положительным. Согласно определению β_n — минимум по w функции, непрерывно зависящей от w, β_{n+1}, ν , причем w пробегает отрезок. Тогда по теореме о непрерывности маргинальной функции

[25, п. 3.1.23], β_n — непрерывная функция переменных β_{n+1}, ν . Следовательно, $\beta_1(\nu)$ — тоже непрерывная функция. При $\nu = 0$ функция $h_0 - \nu + \beta_1(\nu)$ из правой части уравнения (25) будет положительна. Если можно выбрать такое $\nu_{\max} > 0$, чтобы $h_0 - \nu + \beta_1(\nu) < 0$ при $\nu = \nu_{\max}$, то благодаря непрерывности этой функции можно утверждать, что на интервале $(0, \nu_{\max})$ уравнение (25) будет иметь решение ν^* .

Для нахождения ν_{\max} заметим, что при любом выборе допустимой стратегии μ справедливо неравенство

$$\nu + \pi_0(h_0 - \nu + \beta_1(\nu)) \leq \mathfrak{J}[\pi, \mu, \nu],$$

в котором правая часть равна $\mathfrak{L}[\mu, \lambda]$, если последовательность $\{\pi_x\}$ удовлетворяет условию нормировки. Следовательно, $h_0 - \nu + \beta_1(\nu) < 0$ для $\nu > \mathfrak{L}[\mu, \lambda]$. Поэтому искомое ν_{\max} достаточно взять чуть больше $\mathfrak{L}[\mu, \lambda]$.

Для доказательства единственности ν^* заметим, что $\beta_1(\nu)$ — невозрастающая и вогнутая функция, как минимум таковых. Поэтому теми же свойствами обладает функция $h_0 - \nu + \beta_1(\nu)$, для которой ноль является промежуточным значением. Следовательно, это значение функция принимает в единственной точке.

Чтобы установить оптимальность стратегии μ^* в задаче (21), достаточно проверить, что если π^* — стационарное распределение, соответствующее стратегии μ^* , то (π^*, μ^*) и ν^* образуют седловую точку функционала $\mathfrak{J}[\pi, \mu, \nu]$:

$$(П.3) \quad \mathfrak{J}[\pi^*, \mu^*, \nu] \leq \mathfrak{J}[\pi^*, \mu^*, \nu^*] \leq \mathfrak{J}[\pi, \mu, \nu^*] \quad \forall (\pi, \mu) \in \mathcal{S}_0, \quad \forall \nu \in \mathbb{R}.$$

Левое неравенство (П.3) превращается в равенство, так как обе его части равны $\mathfrak{L}[\mu^*, \lambda]$ в силу условия нормировки. Правое неравенство следует из (23) с учетом того, что $\pi_0(h_0 - \nu) + \mathfrak{B}_1(\pi_0, \nu) = \pi_0(h_0 - \nu + \beta_1(\nu)) = 0$ при $\nu = \nu^*$.

При этом $\mathfrak{J}[\pi^*, \mu^*, \nu^*] = \mathfrak{L}[\mu^*, \lambda] = \nu^*$, что и требовалось. Теорема 2 доказана.

СПИСОК ЛИТЕРАТУРЫ

1. *Миллер Б.М., Авраченко К.Е., Степанян К.В., Миллер Г.Б.* Задача оптимального стохастического управления потоком данных по неполной информации // Пробл. передачи информации. 2005. Т. 41. № 2. С. 89–110.
Miller B.M., Avrachenkov K.E., Stepanyan K.V., Miller G.B. Flow Control as a Stochastic Optimal Control Problem with Incomplete Information // Probl. Inform. Transmiss. 2005. V. 41. No. 2. P. 150–170.
2. *Miller B.M.* Optimization of Queuing System via Stochastic Control // Automatica. 2009. V. 45. P. 1423–1430.
3. *Rieder U., Winter J.* Optimal Control of Markovian Jump Processes with Partial Information and Applications to a Parallel Queuing Model // Math. Meth. Oper. Res. 2009. V. 70. P. 567–596.
4. *Солодянников Ю.В.* Управление и наблюдение для динамических сетей массового обслуживания. I // АиТ. 2014. № 3. С. 14–45.

- Solodyannikov Yu.V.* Control and Observation for Dynamical Queuing Networks. I // *Autom. Remote Control*. 2014. V. 75. No. 3. P. 422–446.
5. *Солодянников Ю.В.* Управление и наблюдение для динамических сетей массового обслуживания. II // *АиТ*. 2014. № 5. С. 91–114.
- Solodyannikov Yu.V.* Control and Observation for Dynamical Queuing Networks. II // *Autom. Remote Control*. 2014. V. 75. No. 5. P. 880–899.
6. *Кузнецов Н.А., Мясников Д.В., Семенikhин К.В.* Оптимизация двухфазной системы массового обслуживания и ее применение к управлению передачей данных между двумя агентами робототехнической системы // *Информационные процессы*. 2017. Т. 17. № 1. С. 19–42.
- Kuznetsov N.A., Myasnikov D.V., Semenikhin K.V.* Optimization of Two-Phase Queuing System and Its Application to the Control of Data Transmission Between Two Robotic Agents // *J. Communicat. Technol. Electron*. 2017. V. 62. No. 12. P. 1484–1498.
7. *Миллер Г.Б., Борисов А.В., Стефанович А.И.* Управляемые марковские скачкообразные процессы. I. Оптимальная фильтрация по комплексным наблюдениям // *Изв. РАН. Теория и системы управления*. 2018. № 6. С. 64–83.
- Borisov A.V., Miller G.B., Stefanovich A.I.* Controllable Markov Jump Processes. I. Optimum Filtering Based on Complex Observations // *J. Comput. Syst. Sci*. 2018. V. 57. No. 6. P. 890–906.
8. *Борисов А.В., Миллер Г.Б., Стефанович А.И.* Управляемые марковские скачкообразные процессы. II. Мониторинг и оптимизация функционирования TCP-соединений // *Изв. РАН. Теория и системы управления*. 2019. № 1. С. 13–30.
- Borisov A.V., Miller G.B., Stefanovich A.I.* Controllable Markov Jump Processes. II. Monitoring and Optimization of TCP Connections // *J. Comput. Syst. Sci*. 2019. V. 58. No. 1. P. 12–28.
9. *Коган Я.А., Липцер Р.Ш., Смородинский А.В.* Гауссовская диффузионная аппроксимация марковских замкнутых моделей сетей связи ЭВМ // *Пробл. передачи информации*. 1986. Т. 22. № 1. С. 49–65.
- Kogan A.Ya., Liptser R.Sh., Smorodinskii A.V.* Gaussian Diffusion Approximation of Closed Markov Models of Computer Networks // *Probl. Inform. Transmiss*. 1986. V. 22. No. 1. P. 38–51.
10. *Gordon W.J., Newell F.G.* Closed Queuing Systems with Exponential Servers // *Oper. Res*. 1967. V. 15. No. 2. P. 254–265.
11. *Кельберт М.Я., Сухов Ю.М.* Математические вопросы теории сетей с очередями // *Итоги науки и техники. Теория вероятностей. Матем. статистика. Теоретич. киберн.* М.: ВИНТИ. 1988. Т. 26. С. 3–96.
12. *Kitaev M.Y., Rykov V.V.* Controlled queueing systems. Boca Raton: FL: CRC, 1995.
13. *Sennott L.I.* Stochastic dynamic programming and the control of queueing systems. N.Y.: J. Wiley & Sons, 1999.
14. *Whitt W.* Stochastic-process limits. An introduction to stochastic-process limits and their application to queues. N.Y.: Springer, 2002.
15. *Anisimov V.V.* Switching processes in queueing models. Hoboken: J. Wiley & Sons, 2008.
16. *Stidham S.* Optimal design of queueing systems. N.Y.: Chapman & Hall/CRC, 2009.
17. *Altman E.* Constrained Markov decision processes. Boca Raton, FL: Chapman & Hall/CRC, 1999.

18. *Миллер Б.М., Миллер Г.Б., Семенихин К.В.* Методы синтеза оптимального управления марковским процессом с конечным множеством состояний при наличии ограничений // *АиТ.* 2011. № 2. С. 111–130.
Miller B.M., Miller G.B., Semenikhin K.V. Methods to Design Optimal Control of Markov Process with Finite State set in the Presence of Constraints // *Autom. Remote Control.* 2011. V. 72. No. 2. P. 323–341.
19. *Schechner Z., Yao D.* Decentralized Control of Service Rates in a Closed Jackson Network // *IEEE Trans. Automat. Control.* 1989. V. 34. No. 2. P. 236–240.
20. *Ma D.-J., Cao X.-R.* A Direct Approach to Decentralized Control of Service Rates in a Closed Jackson Network // *IEEE Trans. Automat. Control.* 1994. V. 39. No. 7. P. 1460–1463.
21. *Степанов С.Н., Степанов М.С.* Построение и анализ обобщенной модели контакт-центра // *АиТ.* 2014. № 11. С. 55–69.
Stepanov S.N., Stepanov M.S. Construction and Analysis of a Generalized Contact Center Model // *Autom. Remote Control.* 2014. V. 75. No. 11. P. 1936–1947.
22. *Liptser R.S., Shiryaev A.N.* Statistics of random processes. 3rd ed. N.Y.: Springer, 2005.
23. *Флеминг У., Ришел Р.* Оптимальное управление детерминированными и стохастическими системами. М.: Мир, 1978.
24. *Иоффе А.Д., Тихомиров В.М.* Теория экстремальных задач. М.: Наука, 1974.
25. *Обен Ж.-П., Экланд И.* Прикладной нелинейный анализ. М.: Мир, 1988.

Статья представлена к публикации членом редколлегии Е.Я. Рубиновичем.

Поступила в редакцию 20.06.2019

После доработки 19.08.2019

Принята к публикации 26.09.2019